



# تولیدات دامی

دوره ۲۲ ■ شماره ۳ ■ پاییز ۱۳۹۹

صفحه‌های ۳۴۷-۳۴۸

DOI: 10.22059/jap.2020.291923.623463

## مسیرهای بیولوژیکی مرتبط با lncRNAهای شناخته شده بین ژنی در بافت شکمبه گوساله‌های مبتلا به اسیدوز

بیژن محمودی<sup>۱</sup>، جمال فیاضی<sup>۲\*</sup>، هدایت‌الله روشنگر<sup>۳</sup>، محسن ساری<sup>۴</sup>، محمدرضا بختیاری‌زاده<sup>۵</sup>

۱. دانش‌آموخته دکتری، گروه علوم دامی، دانشکده علوم دامی و صنایع غذایی، دانشگاه علوم کشاورزی و منابع طبیعی خوزستان، ملائانی، ایران.

۲. دانشیار، گروه علوم دامی، دانشکده علوم دامی و صنایع غذایی، دانشگاه علوم کشاورزی و منابع طبیعی خوزستان، ملائانی، ایران.

۳. استاد، گروه علوم دامی، دانشکده علوم دامی و صنایع غذایی، دانشگاه علوم کشاورزی و منابع طبیعی خوزستان، ملائانی، ایران.

۴. دانشیار، گروه علوم دام و طبیور، پردیس ابوریحان، دانشگاه تهران، پاکدشت، ایران.

تاریخ پذیرش مقاله: ۱۳۹۹/۰۹/۰۸  
تاریخ دریافت مقاله: ۱۳۹۸/۰۶/۲۷

### چکیده

هدف این پژوهش شناسایی lncRNAهای دخیل در کنترل فعالیت مسیرهای بیولوژیکی مؤثر در بروز اسیدوز بود. به این منظور دو گروه گوساله شامل گروه شاهد (۳ گوساله نر سالم) و گروه بیمار (۳ گوساله نر مبتلا به اسیدوز) به صورت مقایسه‌ای مورد مطالعه قرار گرفتند. توالی یابی جفتی با استفاده از پالترن استفاده شد. از نرم‌افزار Hisat2 برای هم‌ترازی خوانش‌ها با ژنوم مرتع گاو و بسته نرم‌افزار StringTie جهت سرهنگی رونوشت‌ها استفاده شد. با استفاده از توالی یابی نسل بعد، ۱۶۳۶ ژن متعلق به lncRNAهای شناخته شده بین ژنی شناسایی شد که تغییرات بیان ۵۶ ژن معنی دار بود ( $P \leq 0.05$ ). ژن‌های هم‌جوار lncRNAهای شناخته شده بین ژنی روی ژنوم گاو هاشتاین تعیین شدند. نتایج نشان داد با سطح احتمال  $\leq 0.05$  پنج مسیر بیولوژیکی Apelin signaling pathway in diabetic complications، Glucagon signaling pathway، Gap junction signaling pathway، Renin secretion و AGE-RAGE signaling pathway در اصلاح دام می‌شوند. آنالیز عملکرد مولکولی این ژن‌ها نشان داد دو عملکرد مولکولی شامل gap junction channel activity و phosphatidylinositol phospholipase C activity به طور معنی دار غنی می‌شوند. برخی lncRNAها در نمونه‌های سالم و اسیدوزی بیان متفاوتی داشتند و کاهش pH به عنوان محركی برای فعال شدن مسیرهای بیولوژیکی ترارسانی پایم عمل کرد. براساس نتایج حاصل، lncRNAهایی که تفاوت بیان معنی دار در گروه کنترل و اسیدوز دارند با مسیرهای مرتبط با سوخت‌وساز انژرژی شکمبه و ترارسانی پایم همراه می‌باشند. از lncRNAها می‌توان به عنوان عامل پیش‌آگاهی دهنده اسیدوز و بیومارکر در اصلاح دام استفاده نمود.

**کلیدواژه‌ها:** الگوی بیان ژن، ایلومنیا، ترارسانی پایم، توالی یابی، LncRNA

## Biological pathways related to known intergenic lncRNAs in calf ruminal samples affected with acidosis

Bizhan Mahmoudi<sup>1</sup>, Jamal Fayazi<sup>2\*</sup>, Hedayatollah Roshanfekr<sup>3</sup>, Mohsen Sari<sup>2</sup>, Mohammad Reza Bakhtiarizadeh<sup>4</sup>

1. Former Ph.D. Student, Department of Animal Science, Animal Science and Food Technology Faculty, Agricultural Sciences and Natural Resources, University of Khuzestan, Mollasani, Iran.

2. Associate Professor, Department of Animal Science, Animal Science and Food Technology Faculty, Agricultural Sciences and Natural Resources University of Khuzestan, Mollasani, Iran.

3. Professor, Department of Animal Science, Animal Science and Food Technology Faculty, Agricultural Sciences and Natural Resources University of Khuzestan, Mollasani, Iran.

4. Associate Professor, Department of Animal and Poultry Science, College of Aburaihan, University of Tehran, Pakdasht, Iran.

Received: November 29, 2019 Accepted: May 06, 2020

### Abstract

The objective of this study was to identify known intergenic lncRNAs related to biological pathways of acidosis in Holstein calves using ruminal tissue. Two groups of healthy calves (N=3) and affected by acidosis (N=3) were compared. Paired-end sequencing method was performed using the Hiseq2500 illumine platform. Hisat2 software was used to align reads to the bovine reference genome and StringTie software package was used to assemble read files into transcripts. Using next generation sequencing, 1636 genes belonging to known intergenic lncRNAs were identified, of which 56 genes showed significant differential expression ( $P \leq 0.05$ ). Neighbor genes of known intergenic lncRNAs were determined on bovine genome. Analysis of biological pathways and molecular function showed that five biological pathways were significantly ( $P \leq 0.05$ ) enriched. These pathways were Apelin signaling pathway, Gap junction, Glucagon signaling pathway, Renin secretion, and AGE-RAGE signaling pathway. Moreover, two molecular functions including gap junction channel activity, and phosphatidyl inositol phospholipase C activity were significantly ( $P \leq 0.05$ ) enriched. Some lncRNAs have different expression in healthy and acidosis samples, and the decreased pH acts as a stimulus to activate some biological signaling pathways. In conclusion, it was indicated that lncRNAs with differential expression between the control group and the group affected by acidosis are associated with pathways related to rumen energy metabolism and signaling. Identified differentially expressed lncRNAs could be used as prognostic in acidosis and biomarkers or promising candidates in animal breeding.

**Keywords:** Gene expression pattern, Illumine, LncRNA, Sequencing, Signaling.

## مقدمه

مثل انسان، موش، برنج، کلزا و برخی حشرات و باکتری‌ها این امکان را به پژوهش‌گران داده بود تا بتوانند جهش‌های مسئول ایجاد بیماری، نشانگرهای ژنتیکی مرتبط با بیماری خاص و جایگاه‌های کنترل‌کننده صفات کمی مرتبط با بیماری‌های پیچیده را شناسایی کنند [۱۰]. با وجود این‌که این مطالعات بسیاری از سازوکارهای مولکولی دخیل در بیماری‌ها را آشکار نموده است، اما هنوز بسیاری از جنبه‌های مولکولی ایجاد بیماری‌ها ناشناخته باقی مانده است.

یکی از این زوایای پنهان سازوکارهای مولکولی دخیل در بیماری‌ها، نقش و عملکرد انواع مختلف RNA‌های غیر کدکننده در تنظیم بیان ژن‌ها در سطوح مختلف نسخه‌برداری، بعد از نسخه‌برداری و در مرحله ترجمه است. RNA‌های غیر کدکننده به‌طورکلی به دو گروه RNA‌های غیر کدکننده کوتاه و RNA‌های غیر کدکننده بلند تقسیم می‌شوند و به ترتیب دارای طول کوچکتر از ۲۰۰ و بزرگتر از ۲۰۰ نوکلئوتید هستند. گروه RNA‌های کوتاه شامل RNA‌های کوچک مداخله‌گر (miRNAs)، میکرو RNA‌ها (siRNAs) و piRNA (LncRNAs) هستند که به‌طور عمده در تنظیم بیان ژن نقش دارند [۱۰]. گروه RNA‌های غیر کدکننده بلند دارای برخی از ویژگی‌های مشابه با RNA‌های کدکننده، مثل وجود اثرات اپی‌ژنتیکی در بیان آن‌ها، وجود ایترون و ویرایش متناوب در ژن‌های کدکننده آن‌ها هستند. بسیاری از آن‌ها به شکل پلی‌آدنیلی‌شده ملاحظه شده‌اند و در ژنوم ممکن است با ژن‌های کدکننده هم پوشانی داشته باشند ولی اکثر آن‌ها در نواحی بین ژنی قرار دارند [۲]. هرچند هنوز نقش RNA‌های غیر کدکننده بلند به‌خوبی شناخته نشده است، ولی مطالعات صورت گرفته نشان داده‌اند که این نوع از RNA‌ها در سطوح مختلف تنظیم بیان ژن، یعنی هم در مرحله نسخه‌برداری و هم در مرحله بعد از نسخه‌برداری

در بین عوامل مختلفی که سلامت و در نتیجه عملکرد دام‌ها را تحت تأثیر قرار می‌دهند، بیماری‌های متابولیکی دارای نقش مهمی هستند. بیماری‌های متابولیکی هزینه‌های بسیار زیادی به دامداران تحمل می‌کنند، به‌طور متوسط ۲۵ درصد از دام‌هایی که در ۶۵ روز اول دوره شیردهی حذف می‌شوند، نتیجه یک یا چند بیماری متابولیکی است [۱۵]. اسیدوز یکی از مهم‌ترین بیماری‌های متابولیکی است. مطالعات حاکی از آن است که اسیدوز و به‌ویژه اسیدوز شکمبه در گاو‌های پرواری و شیری یک مشکل جدی صنعت دامپروری است و حتی در مزارع با مدیریت خوب و مکانیزه نیز به‌وفور دیده می‌شود. به‌طور متوسط ۱۱ الی ۲۹ درصد گاو‌های شیری و پرواری در معرض اسیدوز قرار دارند [۱۵]. با بررسی ۱۵ گله گاو هلشتاین، گزارش شده است که اسیدوز شکمبه در ۱۹ درصد از گاو‌هایی که در دوران اولیه شیردهی هستند مشاهده می‌شود. این مقدار در گاو‌هایی که در اواسط شیردهی هستند به میزان ۲۶ درصد افزایش می‌یابد [۱]. تمایل تولیدکنندگان به استفاده حداکثری از عملکرد تولیدی دام‌های شیری و گوشتی معمولاً با افزایش مصرف مواد متراکم (دانه غلات و کنجاله‌ها و ...) اتفاق می‌افتد و در این خصوص ابتلا به بیماری اسیدوز عامل محدودکننده‌ای می‌باشد. یافتن راه‌های پیشگیری و درمان مؤثر اسیدوز برای رسیدن به تولید پایدار و تضمین سوددهی صنایع دامپروری یک ضرورت حیاتی است. رسیدن به این هدف به میزان زیادی به دانش و آگاهی از سازوکارهای مولکولی و سلولی ایجادکننده این بیماری و عوامل دخیل در آن وابسته است.

در سال‌های اخیر تکنیک‌های توالی‌بایی نقش بسیار مهمی در توضیح بسیاری از جنبه‌های پنهان بیماری‌های مختلف ایفا کرده است. توالی‌بایی ژنوم موجودات مختلف

## تولیدات دامی

در مزرعه پژوهشی محمد شهر کرج، پردیس کشاورزی و منابع طبیعی دانشگاه تهران به مدت ۱۳۰ روز انجام شد. وزن گوساله ها  $550 \pm 40$  کیلوگرم بود. شش گوساله مورد مطالعه به طور تصادفی به دو گروه سه تایی شاهد (سالم) و بیمار (مبتلا به اسیدوز تحت حاد) تقسیم شدند. برای القای اسیدوز تحت حاد، بعد از یک هفته عادت دهنی، رژیم غذایی برای ۱۲ ساعت متوقف شد و سپس جیره با ترکیب ۸۰ درصد کنسانتره و ۲۰ درصد علوفه جایگزین شد. برای تأیید ایجاد اسیدوز تحت حاد pH در گوساله های مورد آزمایش، pH شکمبه با استفاده از متر کالیبره شده، اندازه گیری شد. کشتار دام ها در کشتارگاه کرج راک انجام شد. سپس از بافت شکمبه نمونه هایی با ابعاد  $1 \times 1$  سانتی متر جدا و بلا فاصله بعد از جداسازی، با بافر PBS (pH = ۶/۸) شست و شو داده شده و در تیوب های ۵۰ ml به داخل تانک ازت منتقل شدند. نمونه ها به آزمایشگاه منتقل و تا زمان استخراج RNA کل در یخچال تحت دمای  $-80^\circ\text{C}$  درجه سانتی گراد نگهداری شدند. از هر گوساله دو نمونه گرفته شد (به منظور اندازه گیری خطای کارکردی)، در مجموع ۱۲ نمونه (شش نمونه شاهد و شش نمونه اسیدوزی) برای مطالعه مورد استفاده قرار گرفتند. برای استخراج RNA کل از بافت شکمبه، نمونه های فریز شده تحت دمای  $-80^\circ\text{C}$  درجه سانتی گراد، پودر شدند و میزان ۵۰ الی ۱۰۰ میلی گرم از نمونه های پودرشده به طور جداگانه برای گروه شاهد و بیمار وزن شده و RNA کل با استفاده از کیت تراپیزول شرکت اینویتروژن (Invitrogen, CA, USA) مطابق پروتکل تولید کننده، از نمونه های بافتی استخراج شد.

ارزیابی کیفیت شامل روش استفاده از دستگاه اسپکتروفوتومتر نانو دراپ (مدل ۲۰۰۰، ایالات متحده) و ژل آگارز  $1/5$  درصد برای تأیید کیفیت و کمیت RNA کل استخراج شده، بود. براساس نتایج حاصل از دستگاه نانو

نقش دارند [۹]. به طور کلی مطالعات مولکولی روی اسیدوز در دام ها محدود است. در مطالعه ای روی تأثیر اسیدوز شکمبه بر تغییرات ترانسکریپتومی گزارش شده که در اثر القای اسیدوز تعداد ۱۷۲ ژن در بافت شکمبه تغییر بیان پیدا می کنند. مسیر متابولیکی Hemophilic Cell Adhesion Pathway در گاو های دچار اسیدوز افزایش بیان پیدا می کند. ژن های خاصی که در این مسیر تنظیم شده اند PCDHB14، PCDHB7، PCDHB4، PCDHB15 چهار ژن مذکور که در چسبندگی سلول هموفیلی (hemophilic cell adhesion) نقش دارند در گاو های مبتلا شده به اسیدوز از گاو های شاهد بالاتر بود [۱۸]. در مطالعه ای دیگر روی تغییرات میزان mRNA سلول های ابی تلیال شکمبه در گاو های شیری گزارش شده است که القای اسیدوز باعث افزایش بیان ژن های desmoglein 1 and IGF binding proteins می شود. افزایش بیان این ژن ها در ارتباط با رشد و تغییر ساختار اپی تلیال دانسته شده است [۹]. اما تاکنون نقش lncRNA های بین ژنی در بافت شکمبه گاو گزارش نشده است. با توجه به اهمیت نقش این دسته از ژن ها در کنترل فرایندهای سلولی و به منظور تکمیل مطالعات سلولی، مولکولی و ژنتیکی انجام شده روی اسیدوز، بررسی نقش و عملکرد RNA های غیر کد کننده بلند دخیل در این بیماری می تواند بسیار کمک کننده باشد. هدف از این پژوهش، شناسایی RNA های دخیل در پاسخ به اسیدوز در بافت شکمبه گوساله هاست. یافته های این پژوهش به درک بیشتر ما در مورد عملکردهای مولکولی lncRNA ها در بیماری اسیدوز شکمبه گاو کمک شایانی می کند.

## مواد و روش ها

پژوهش حاضر روی شش گوساله نر هلشتاین هشت ماهه

## تولیدات دامی

دوره ۲۲ ■ شماره ۳ ■ پاییز ۱۳۹۹

تحت لینوکس استفاده شد ( <http://www.bioinformatics.babraham.ac.uk/projects/fastqc> ). بعد از شناسایی مشکلات و معایب موجود در توالی‌ها، از نرم‌افزار Trimmomatic (نسخه ۰۳۶) برای پیرایش و فیلتر خوانش‌های نامطلوب و حذف توالی‌های با طول کمتر از ۴۰ نوکلئوتید استفاده شد. خوانش‌های موجود در سطرهای متناظر دو فایل fastq نمایانگر خوانش‌های جفت انتهایی مربوط به یک قطعه توالی‌بایی شده می‌باشند. رویه پیرایش و فیلترکردن خوانش‌های نامطلوب به این ترتیب بود که در ابتدا آلدگی آدپتور با استفاده از نرم‌افزار Trimmomatic (نسخه ۰۳۶) بررسی شد و خوانش‌های آلدود حذف شدند. توالی‌های باقی‌مانده با استفاده از نرم‌افزار HISAT2 (نسخه ۲/۱۰) روی توالی ژنومی گاو هلشتاین (ARS-) Ensemble (UCD1.2) موجود در داده پایگاه (<https://asia.ensembl.org/index.html>) هم‌ردیف شدند و سپس با استفاده از StringTie (نسخه ۲/۱) به رونوشت‌ها سرهمندی گشتند. برای شناسایی و تفکیک lncRNA‌ها از سایر RNA‌ها، معیارهایی شامل حذف تمامی رونوشت‌های mRNA، حذف رونوشت‌های با طول کمتر از ۲۰۰ نوکلئوتید، حذف رونوشت‌های ناشناخته (Novel lncRNA)، حذف توالی با پتانسیل کدکنندگی با استفاده از نرم‌افزارهای CPC (نسخه ۲) [۱۳]، CTCF (نسخه ۲) [۲۳] و PLEK (نسخه ۱/۲) [۱۶]، در نظر گرفته شدند [۳]. توالی‌های حاصل بعد از گذراندن فیلترهای بالا، با استفاده از داده پایگاه pfam (<http://pfam.xfam.org>) بررسی شدند تا توالی‌های دارای دومین پروتئینی نیز حذف شوند و درنهایت lncRNA‌هایی که در محدوده ۱۰ هزار بازی ژن‌های کدکننده پروتئین قرار گرفته بودند، به عنوان lncRNA‌هایی بین ژنی مورد مطالعه بیش‌تر قرار گرفتند [۳]. برای شناسایی lncRNA‌های بین ژنی شناخته شده با

دراب تنها نمونه‌هایی که نسبت ۱/۵ الی ۲/۱ (جذب نوری در طول موج ۲۶۰ نسبت به ۲۸۰) و براساس نتایج ژل آگارز بین باندهای ۲۸S و ۱۸S قرار گرفتند، برای توالی‌بایی انتخاب شدند. نمونه‌ها برای ستر cDNA و توالی‌بایی با استفاده از فناوری ایلومنینا به شرکت BGI هنگ‌کنگ ارسال و عملیات مذکور با پروسه زیر انجام شد.

نمونه‌های ارسال شده بعد از کترل کیفی با دستگاه بایوآجیلت ۲۱۰۰، استفاده شدند. نمونه‌های با کیفیت مناسب تحت فرایند انتخاب mRNAها قرار گرفتند که برای این کار از Oligo dT beads استفاده شد که با پرورش‌شدن به دم پلی mRNAها باعث حفظ آنها و حذف RNAهای A انتهای mRNAها می‌شوند. بعد از حذف RNAهای کوچک، tRNA و غیره کوچکتر، از قبیل RNAهای ریبوزومی، mRNAها توسط شوند. بعد از حذف RNAهای کوچک، mRNAها توسط کیت‌های خاصی شکسته شده و به قطعات کوتاهتری تبدیل شدند. با استفاده از پرایم‌های هگزامری، از روی قطعات شکسته شده، cDNA ساخته شد و با طول مشخص (حدود ۲۰۰ باز) انتخاب، انتهای آن‌ها ترمیم شده و باز آدنین و سپس آدپتور به آن‌ها اضافه شد و درنهایت با استفاده از دستگاه‌های توالی‌بایی ایلومنینا هایسک ۲۵۰۰ مورد توالی‌بایی قرار گرفتند. تعداد بالغ بر ۷۰ میلیون خوانش جفت انتهایی بعازای هر نمونه تولید شد، میانگین خوانش‌ها ۷۱۰۵۸۲۵ و حداقل و حداکثر خوانش‌ها به ترتیب ۷۱۵۶۲۵۸۲ و ۷۰۶۱۴۵۳۶ بود. برای انجام آنالیزهای بیانفورماتیکی از سوپر کامپیوتر ( 80 core cpu, 256 RAM, ۲۵۶ RAM, HP ) پر دیس ابوريحان دانشگاه تهران استفاده شد. برای رسم نمودارها از نرم‌افزار Microsoft Excel 2013 و برای رسم هیئت‌مپ از بسته RStudio در نرم‌افزار heatmap (نسخه ۳/۰) استفاده شد. برای کترل کیفیت و شناسایی lncRNA‌ها از نرم‌افزارهای مختلف بهره گرفته شد.

برای کترل کیفی خوانش‌ها قبل و بعد از پیرایش و فیلترکردن خوانش‌ها از نرم‌افزار fastQC (نسخه ۰/۱۱/۵)

## تولیدات دامی

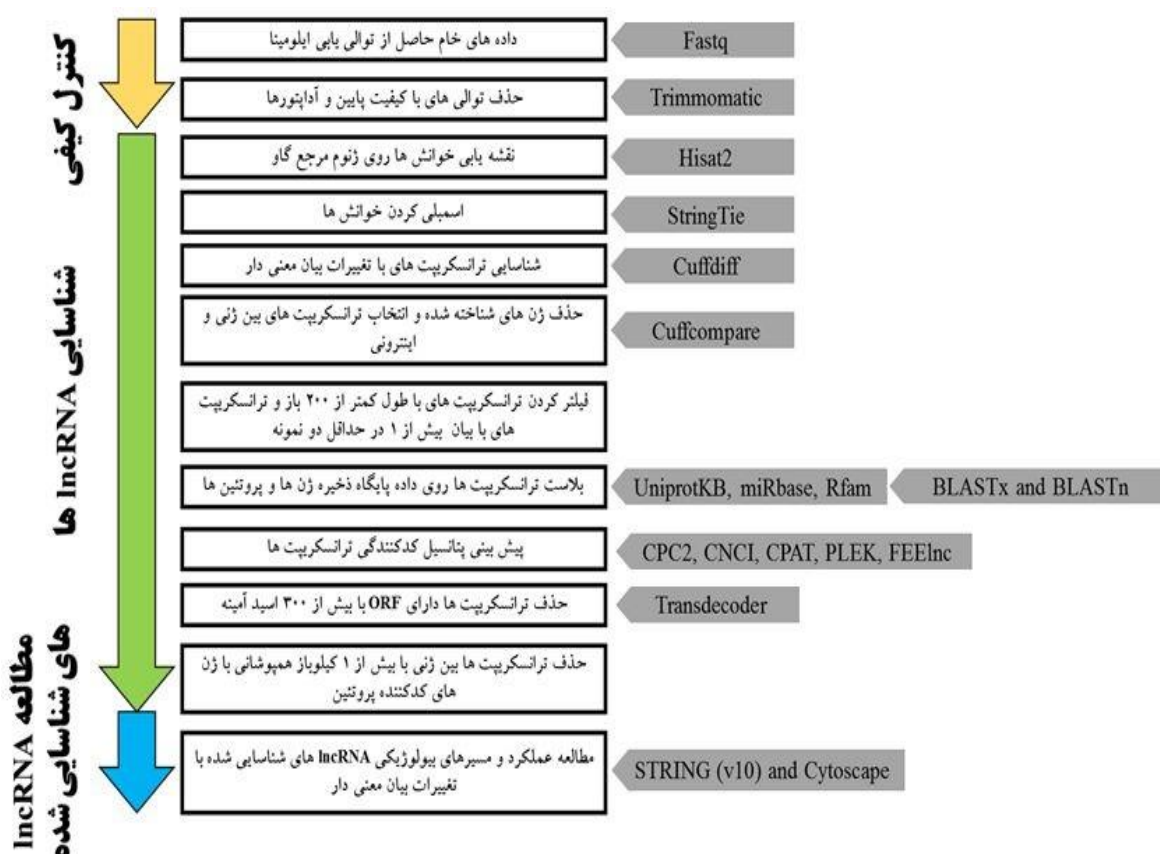
دوره ۲۲ ■ شماره ۳ ■ پاییز ۱۳۹۹

(http://www.genome.jp/kegg/kegg1.html) آنالیز شده و نتایج بررسی عملکردی برای فرایند زیستی با سطح معنی دار تصحیح شده برای خطای چند آزمونی با روش FDR ( $P\text{-adjusted} \leq 0.05$ ) بررسی شد. مراحل مختلف آنالیز بیوانفورماتیکی داده های RNA-seq به صورت شماتیک در شکل ۱ نشان داده شده است.

### نتایج

نتایج حاصل از توالی یابی برای هر نمونه، بیش از ۳۵/۵ میلیون خوانش را نشان داد. بررسی کیفیت خوانشها نشان داد که تمامی آنها دارای میانگین کیفی بالاتر از ۳۰ و توزیع GC نرمال هستند. این دو فاکتور نشان دهنده کیفیت بالای خوانشها و مناسب بودن آنها برای آنالیزهای بعدی است.

تغییرات بیان معنی دار، از شاخص Fragments (FPKM) استفاده شد (Per Kb for a Million reads) با FPKM برابر یا بیش از یک که حداقل در دو نمونه بیان شده بودند. Cuffdiff (نسخه ۲/۱/۱) [۱۲] با استفاده از Log Fold-Change (log2 fold change) میزان تغییرات بیان (FPKM) را محاسبه می کند. با استفاده از این نرم افزار ژن های دارای تغییرات بیان معنی دار مشخص شدند. در پژوهش حاضر، رونوشت های با  $\geq 2$  و  $P\text{-adjust} \leq 0.05$  به عنوان رونوشت های با تغییرات بیان معنی دار در نظر گرفته شدند [۳]. برای مطالعه هستی شناسی و مسیرهای بیولوژیکی، ژن های هدف KEGG (http://www.geneontology.org) و پایگاه (http://www.genome.jp/kegg/kegg1.html) استفاده شده بین ژنی، با استفاده از داده



شکل ۱. مراحل مختلف آنالیز بیوانفورماتیکی داده های RNA-Seq

## تولیدات دامی

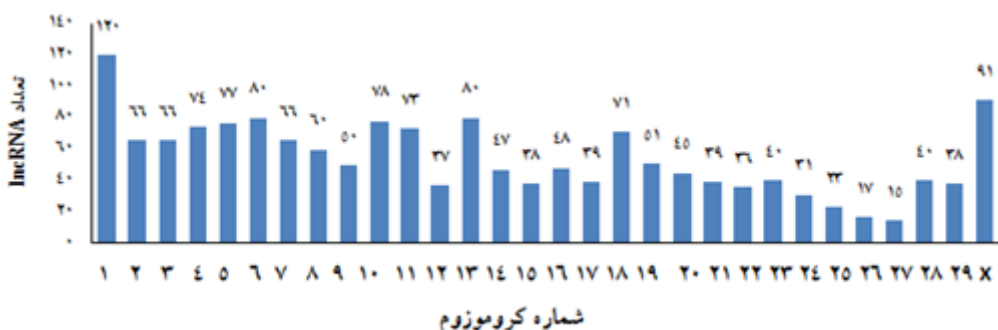
کروموزم‌های ۲۶ و ۲۷ کمترین تعداد ژن‌های شناخته شده بین ژنی را دارا بودند (شکل ۲).

تجزیه و تحلیل میزان بیان ژن‌های lncRNA شناخته شده بین ژنی در بافت شکمبه سالم و مبتلا به اسیدوز نشان داد که ۵۶ ژن دارای تغییرات بیان معنی‌دار هستند. خصوصیات ژنومیکی تعدادی از lncRNA شناخته شده با اثرات بزرگتر در نمونه‌های اسیدوزی و سالم و فاصله آنها با مناطق کدکننده پروتئین در جدول MSTRG.2585 (۲) نشان داده شده است. lncRNA های MSTRG.20535 در نمونه‌های اسیدوزی نسبت به سالم و MSTRG.15936 در نمونه‌های اسیدوزی نسبت به سالم، بیان کمتری داشتند (جدول ۲).

در مجموع بعد از اعمال فیلترها و آنالیز توالی‌ها، ۴۳۳۰ ژن به عنوان lncRNA‌ها تعیین شدند. این ژن‌ها در known چهار گروه، شامل گروه بین ژنی شناخته شده (intronic lncRNA)، ایترونی شناخته شده (lincRNA)، بین ژنی جدید (novel lncRNAs) و ایترونی جدید (intronic lncRNA) هستند. برای این گروه از lncRNA‌ها میانگین طول رونوشت، میانگین تعداد اگزون و میانگین درصد گوانین-سیتوزین به ترتیب ۲۱۸۳/۸۷ نوکلئوتید، ۱/۲۹ اگزون و ۴۴ درصد مشاهده شد. همان‌طور که در شکل (۲) نیز نشان داده شده است، بررسی توزیع کروموزمی lncRNA شناخته شده بین ژنی نشان داد که این نوع از lncRNA بیشتر در کروموزم شماره ۱ و X توزیع شده‌اند.

جدول ۱. خصوصیات رونوشت‌ها و ژن‌های lncRNA‌ها در بافت شکمبه گوساله هلشتاین مبتلا به اسیدوز

خصوصیات	بین ژنی شناخته شده	ایترونی شناخته شده	بین ژنی جدید	ایترونی جدید	تعداد ژن
تعداد رونوشت	۱۷۳۲	۱۲۴۴	۶۴۰	۶۳۹	۸۴۰
میانگین طول رونوشت	۲۱۸۳/۸۷	۳۵۹۰/۹۳	۵۲۴/۶۵	۸۳۸	۶۱۹/۶۵
میانگین تعداد اگزون	۱/۲۹	۱/۲۴	۱/۰۷	۱/۰۲	۱/۰۲
میانگین میزان گوانین-سیتوزین (GC)	۰/۴۴	۰/۴۳	۰/۴۴	۰/۴۳	۰/۴۳



شکل ۲. توزیع کروموزمی lncRNA‌ها شناخته شده بین ژنی در بافت شکمبه گوساله هلشتاین با استفاده از نرم افزار Microsoft Excel 2013

## تولیدات دائمی

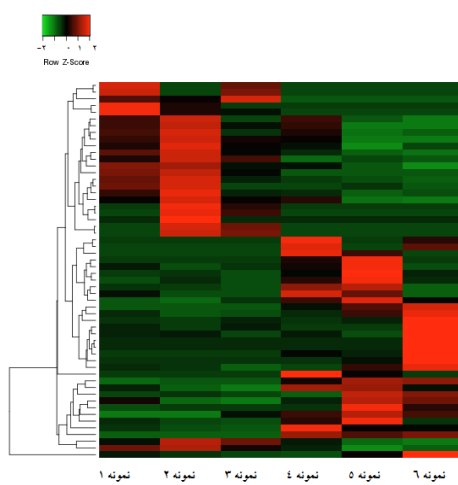
دوره ۲۲ ■ شماره ۳ ■ پاییز ۱۳۹۹

جدول ۲. خصوصیات ژنومیکی lncRNAهای شناخته شده و فاصله آنها با مناطق کد کننده پروتئین

IncRNA نام	طول	کروموزوم	شماره و موقعیت در	درصد GC	نژدیکترین ژن پایین دست	فاصله	نژدیکترین ژن بالا دست	فاصله	نام
MSTRG.2585	۱۵۲۵	۱۱	-۵۷۸۲	۴۵	FABP1	-۵۷۸۲	SMYD1	۲۵۷۴	
MSTRG.20535	۳۰۵۳	۷	-۲۳۰۳	۵۵	DAPK3	-۲۳۰۳	NMRK2	۵۸۱۶	
MSTRG.15936	۱۰۴۱	۲۹	-۱۰۶۳	۵۴	NTM	-۱۰۶۳	TMEM45B	۷۵۵۵	
MSTRG.6750	۴۹۹۸	۱۷	-۱۲۱۴۴	۳۵	SLC7A11	-۱۲۱۴۴	PCDH18	۷۸۰۸۶۱	

برای شناسایی مسیرهای بیولوژیکی مرتبط با lncRNAهای دخیل در اسیدوز بافت شکمبه، ژن‌های هم‌جوار lncRNAهای با تغییرات بیان معنی‌دار آنالیز شدند. نتایج نشان داد که با سطح احتمال  $P \leq 0.05$ . پنج مسیر بیولوژیکی غنی شدند. این مسیرها شامل Glucagon Gap junction signaling pathway AGE-RAGE و Renin secretion signaling pathway signaling pathway in diabetic complications عملکرد مولکولی شامل gap junction channel activity و phosphatidylinositol phospholipase C activity به طور معنی‌دار غنی شدند.

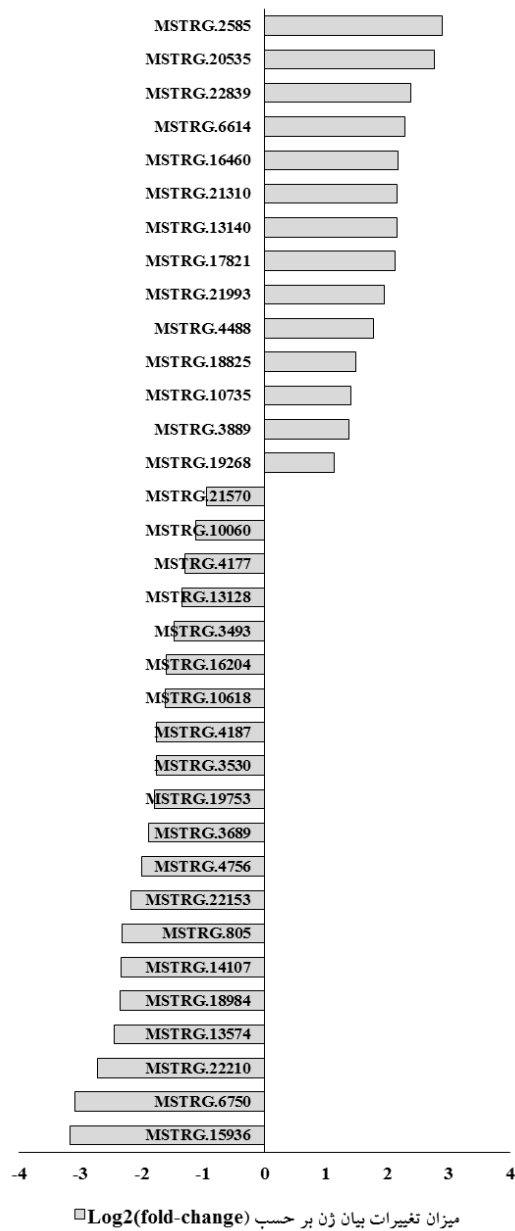
آنالیز خوش‌های lncRNAهای با تغییرات بیان معنی‌دار را در سه خوش‌های اصلی قرار داد (شکل ۳). بیشترین تعداد lncRNAها در خوش‌های یک قرار گرفتند. در این خوش‌های ژن‌های با افزایش بیان (قرمز رنگ) و کاهش بیان (سبز) در کنار هم‌دیگر طبقه‌بندی شدند. بررسی الگوی بیان این ژن‌ها نشان داد که ۱۴ ژن افزایش بیان و ۲۰ ژن کاهش بیان معنی‌دار دارند ( $P \leq 0.05$ ). همچنان ۲۲ ژن در بافت شکمبه مبتلا به اسیدوز، القا یا خاموش شدند (شکل ۴). بیشترین میزان بیان در lncRNAهای شناخته شده بین ژنی MSTRG.2585 و MSTRG.20535 مشاهده شدند، در حالی‌که ژن MSTRG.15936 کمترین میزان بیان را داشت.



شکل ۳. آنالیز خوش‌های و میزان بیان lncRNAهای شناخته شده بین ژنی در نمونه‌های بافت شکمبه مورد آزمایش با استفاده از بسته Rstudio Heatmap

## تولیدات دائمی

دوره ۲۲ ■ شماره ۳ ■ پاییز ۱۳۹۹



شکل ۴. الگوی بیان lncRNAهای شناخته شده بین ژنی با تغییرات بیان معنی دار و میزان بیان lncRNAهای شناخته شده بین ژنی با افزایش و کاهش بیان معنی دار ( $P \leq 0.05$ ). میزان تغییرات بیان براساس Log2 (fold change) نشان داده شده است. نمودارهای سمت راست محور عمودی نشان دهنده افزایش بیان و سمت چپ نشان دهنده کاهش بیان معنی دار در مقایسه با گروه کنترل است.

است و هیچ همپوشانی با ژن‌های کدکننده پروتئین ندارند. نقش lncRNAهای بین ژنی در بیماری‌های مختلف به‌ویژه در انسان و موش مورد مطالعه قرار گرفته است [۲۵]. اما

lncRNAs از گروهی از نوکلئوتید

## بحث

### تولیدات دامی

دوره ۲۲ ■ شماره ۳ ■ پاییز ۱۳۹۹

میکروب های شکمبه در محیط اسیدی خوب کار نمی کنند. فعالیت آنزیم های بدنبی نیز تحت تأثیر pH پایین خون قرار می گیرند. خون اسیدی نمی تواند اکسیژن زیادی حمل کند در نتیجه پاهای گاو که دورترین نقاط بدن گاو به حساب می آیند، کمترین اکسیژن را دریافت خواهند کرد. این مسئله منجر به ایجاد آماس و ورم در پاهای می شود. از طرف دیگر توکسین های داخلی تولید شده در شکمبه، آزادشدن هیستامین را افزایش می دهند که این ماده به آماس و التهاب پاهای بیشتر کمک می کند [۱۸].

با عنایت به این که lncRNAها بیان ژن های هم جوار خود را تنظیم می نمایند، برای مطالعه نقش lncRNAهای شناخته شده بین ژنی با تغییرات بیان معنی دار در بافت شکمبه در پاسخ به رخداد اسیدوز، ژن های هم جوار آن ها در محدوده ۱۰ کیلوبازی شناسایی شدند و مسیرهای بیولوژیکی و عملکرد مولکولی آن ها مطالعه شد. برای مشخص کردن عملکرد lncRNAها از یک رویکرد زیست شناسی سیستم استفاده شد که منجر به شناسایی پنج مسیر بیولوژیکی شد. از پنج مسیر بیولوژیکی غنی شده، سه مسیر متعلق به ترارسانی پیام در سلول بودند. این مسیرها می توانند در ارتباط با نقش تنظیمی lncRNAهای شناخته شده بین ژنی باشند. مسیر بیولوژیکی Apelin signaling یکی از مسیرهای مهم سلولی است و نقش آن در فرایندهای مختلف سلولی از جمله رگزایی، عمنکلر عروق، تکثیر سلولی و متابولیسم انرژی نشان داده شده است. پیتید Apelin با اتصال به گیرنده خود (APJ) که یک نوع G-پروتئین است، باعث فعال شدن آنزیم های زیادی می شود که در نهایت به تغییر بیان ژن های مختلفی می انجامد [۱۴]. دومین مسیر بیولوژیکی، مسیر ترارسانی Glucagon signaling بود که به طور معنی دار غنی شد. این مسیر بیولوژیکی با اتصال هورمون گلوکاگون به گیرنده های خود در سطح سلول

نقش و عملکرد آن ها در دام و بیماری اسیدوز کمتر مورد توجه قرار گرفته است. در مطالعه حاضر، ۱۶۳۶ lncRNA ای بین ژنی شناسایی شد که دارای متوسط طول ۲۱۸۳/۸۷ نوکلئوتید بودند. این مقدار در مقایسه با متوسط طول lncRNA ای بین ژنی در انسان (۱۰۰۰ نوکلئوتید) و موش (۵۵۰ نوکلئوتید) بیشتر بود [۲۰]. همچنان میانگین میزان گوانین-سیتوزین در این مطالعه ۴۴ درصد مشاهده شد که در مقایسه با میانگین گوانین-سیتوزین mRNAها کمتر است [۲۱]. میزان این بازها (بیش از ۵۵ درصد) در نواحی پروموتی و بالادستی ژن همیستگی مشتبی با پتانسیل بیان ژن دارد [۱۷ و ۲۲]. این در حالی است که میزان گوانین-سیتوزین در نواحی اگزونی و ایترونی همبستگی منفی با میزان بیان ژن دارد [۱۷]. میزان بالای گوانین-سیتوزین (بیش از ۹۰ درصد) باعث می شود تا ژن موردنظر در مقایسه با ژن های دارای میزان گوانین-سیتوزین کمتر (حدود ۳۰ درصد) بین ۷ الی ۱۰۰ برابر بیان بیشتری داشته باشند [۲۲]. pH شکمبه گاو در طول روز در نوسان است، اما باید بالاتر از ۵/۸ باشد تا محیط شکمبه برای فعالیت میکروب ها حفظ شود، اسیدوز pH شکمبه ای تحت حاد به عنوان دوره ای از کاهش pH قبیل لذگش و کاهش تولید در ارتباط باشد. هر چند pH شکمبه در طول شباهه روز به وفور تغییر می یابد، ولی گاو ها دارای سیستمی می باشند تا pH شکمبه آن ها در یک محدوده فیزیولوژیکی محافظت و نگهداری شود. به هر حال اگر تولید اسید ناشی از تخمیر زیاد، بیشتر از بافر (ماده ای که از تغییرات شدید pH جلوگیری می کند) باشد، تعادل pH شکمبه به هم می خورد و ممکن است تا حد زیادی از تعادل خارج شود. اسیدوز متابولیکی وقتی اتفاق می افتد که pH شکمبه به حد پایین تر از پنج تا ۵/۵ بررسد و خون گاو اسیدی شود. سلول های بدن گاو همانند

## تولیدات دامی

در راستای جبران افزایش نفوذپذیری ناشی از صدمه به لایه سلولی بافت در معرض اسیدوز، ارتباطات سلولی و نفوذپذیری لایه‌های سلولی را کاهش می‌دهد تا خود را در مقابل صدمات ناشی از آن محافظت نماید. یافته‌های این پژوهش نشان می‌دهد IncRNAهای بین‌ژنی، ژن‌های دخیل در مسیر بیولوژیکی Gap junction را هدف قرار می‌دهند. به‌نظر می‌رسد تنظیم این ژن‌ها در پاسخ به شرایط اسیدی پیش‌آمده در بافت شکمبه باشد تا نفوذپذیری لایه اپیتلیال بافت شکمبه را کاهش دهد [۲۴]. Renin در مطالعه حاضر دخالت مسیر بیولوژیکی secretion در بافت شکمبه تحت شرایط اسیدوز نیز نشان داده شد. این مسیر بیولوژیکی در نهایت به ترشح رنین می‌انجامد که در پاسخ به محرک‌های مختلف به‌ویژه فشار خون اتفاق می‌افتد [۴]. کاهش pH خون باعث افزایش فشار خون می‌شود. بدن در پاسخ به افزایش فشار خون و برای کنترل فشار از سازوکارهای مختلفی استفاده می‌کند که یکی از آن‌ها فعال‌کردن مسیرهای بیولوژیکی مرتبط با ترشح رنین است [۴]. یافته‌های این مطالعه نشان می‌دهند که IncRNAهای بین‌ژنی در تنظیم بیان ژن‌های دخیل در ترشح رنین در پاسخ به pH پایین بافت شکمبه مبتلا به اسیدوز نقش دارند.

آنالیز مولکولی ژن‌های هدف IncRNAهای gap شناخته شده بین‌ژنی دو عملکرد مولکولی شامل phosphatidylinositol junction channel activity و phospholipase C activity همگام با مسیر بیولوژیکی Gap junction است که پیش از این مورد بحث قرار گرفت. عملکرد مولکولی غنی‌شده phosphatidylinositol phospholipase C activity مسیر تراسانی پیام داخل سلولی نقش دارد [۶]. در اثر رخداد این عملکرد مولکولی، که به‌واسطه وقوع بیماری اسیدوز اتفاق می‌افتد، فسفاتیدیل اینوزیتول شکسته شده و

فعال می‌شود و رابطه مستقیمی با فعالیت‌های لیپولیز دارد که طی آن، لیپیدها برای تأمین انرژی سلول تجزیه شده و برای تولید انرژی موردنیاز سلول به کار برده می‌شوند [۵]. سومین مسیر تراسانی پیام، AGE-RAGE signaling pathway بود. این مسیر تراسانی در بسیاری از بیماری‌ها به‌ویژه دیابت مورد مطالعه قرار گرفته است و نشان داده شده است که این مسیر در پاسخ به غلظت بالای قند و تجمع کلسیم در بدن فعال می‌شود [۷ و ۱۲]. این مسیرهای بیولوژیکی می‌توانند در ارتباط با کاهش pH و افزایش غلظت لیپوپروتئین‌های خون در بافت شکمبه مبتلا به اسیدوز باشند [۱۲].

مسیر بیولوژیکی Gap junction شامل مجموعه‌ای از پروتئین‌های غشایی به نام کانکسین است. این پروتئین‌ها با ایجاد کانال‌هایی در غشای سلول باعث ارتباط بین دو سلول مجاور می‌شوند و مناطقی از غشاها سلولی است که در آن‌ها پروتئین‌های غشا متعلق به سلول‌های مجاور در تماس نزدیک قرار دارند و از این طریق کانال‌های غشایی دوگانه آبگریز تشکیل می‌شوند، که در بسیاری از فرایندها از جمله تمایز، فعالیت عصبی، توسعه، پاسخ ایمنی و هماهنگ‌سازی سلولی نقش اساسی دارند. علاوه بر این، در اثر جهش در کانکسین‌ها چندین بیماری انسانی از جمله بیماری‌های عصبی، بیماری‌های پوستی، ناشنوایی و ناهنجاری‌های رشدی ایجاد می‌شود. نشان داده شده است که Gap junction در کنار مسیر بیولوژیکی نیتریک اسید در پاسخ به میزان pH خارج سلولی دخیل هستند و در تنظیم آن نقش دارند [۸]. میزان بیان ژن‌های دخیل در مسیر بیولوژیکی Gap junction تحت شرایط اسیدوز کاهش پیدا می‌کند تا میزان نفوذپذیری لایه اپیتلیال کاهش پیدا کند [۱۹]. تحت شرایط pH پایین ممکن است لایه اپیتلیال بافت‌های مختلف صدمه بیند و درنتیجه نفوذپذیری آن افزایش پیدا کند [۲۴]. به‌نظر می‌رسد سلول

## تولیدات دامی

دوره ۲۲ ■ شماره ۳ ■ پاییز ۱۳۹۹

ممکن است نقش نظارتی بالقوه در تعديل فرایندهای بیولوژیکی مرتبط با مسیرهای سوخت و ساز انرژی و فرایندهای ترارسانی پیام سلولی مؤثر بر عملکرد شکمبه گوسالههای در پاسخ به بیماری اسیدوز ایفا کنند. مولکولهای lncRNA ضمن این که می‌توانند به عنوان یک عامل پیش‌آگاهی دهنده برای تشخیص اسیدوز باشند، در اصلاح نژاد دام نیز به عنوان بیومارکر می‌توان از آن‌ها بهره برد. پیش‌بینی می‌شود lncRNAهایی که دارای تفاوت معنی‌دار در دو گروه سالم و اسیدوزی هستند با احتمال زیاد با مسیرهای ضروری برای متاپولیسم انرژی در شکمبه مرتبط بوده و با مسیرهای اپیتلیال شکمبه همراه باشند. امید است با انجام سلولهای اپیتلیال شکمبه در آینده و با شناخته شدن هرچه بیشتر نقش lncRNAها بتوان گام بزرگی در اصلاح دام برداشت.

## تشکر و قدردانی

از معاونت محترم پژوهشی و فناوری دانشگاه علوم کشاورزی و منابع طبیعی خوزستان به خاطر حمایت‌های مالی و معنوی، تشکر و قدردانی می‌گردد.

## تعارض منافع

هیچ‌گونه تعارض منافع توسط نویسندهان وجود ندارد.

## منابع

1. Adeva MM and Souto G (2011) Diet-induced metabolic acidosis. Clinical nutrition 30 (4): 416-421.
2. Bakhtiarizadeh MR and Salami SA (2019) Identification and expression analysis of long noncoding RNAs in fat-tail of sheep breeds. G3: Genes, Genomes, Genetics 9 (4): 1263-1276.
3. Bakhtiarizadeh MR, Hosseinpour B, Arefnezhad B, Shamabadi N and Salami SA (2016) In silico prediction of long intergenic non-coding RNAs in sheep. Genome 59 (4): 263-275.

تولید دی‌آسیل‌گلیسرول (DAG) و اینوزیتول تری‌فسفات (IP3) می‌کند. مولکولهای آزادشده در ادامه باعث فعال شدن پروتئین‌های کینازی شده و درنهایت با آزادشدن یون‌های کلسیم داخل سلولی، برخی از مسیرهای ترارسانی فعال شده و بیان ژن‌ها در پاسخ به این سیگنال تغییر پیدا می‌کند [11].

به عنوان نتیجه‌گیری کلی، پژوهش حاضر ضمن شناسایی lncRNAهای بین‌ژنی شناخته شده در بافت شکمبه، مسیرهای بیولوژیکی غنی‌شده و عملکردهای مهم lncRNAهای شناخته شده در گوسالههای مبتلا به اسیدوز را شناسایی کرد. توالی‌یابی RNA-seq به خوبی قادر به شناسایی lncRNAها بوده و آن‌ها نیز نقش قابل‌توجهی در تنظیم بیان ژن‌های هم‌جوارشان دارند. شناسایی lncRNAهای با بیان متفاوت در گروه سالم و اسیدوزی lncRNAهای جدیدی در مورد سازوکارهای تنظیمی lncRNAها به دست آورد. به نظر می‌رسد کاهش pH به عنوان محركی عمل می‌کند و باعث فعال شدن برخی مسیرهای بیولوژیکی ترارسانی پیام می‌شود. پنج مسیر بیولوژیکی مهم مربوط به متاپولیسم انرژی، لیپید و لیپوپروتئین یافت شد. با یافتن ژن‌های هدف با عملکردهای شناخته شده در متاپولیسم چربی و مسیر پیام‌رسانی کلسیم، حدس زده می‌شود lncRNAها از طریق ژن‌های هدف هم‌جوار یا هم‌بیان شده عمل کنند که با تنظیم این ژن‌های کدکننده پروتئین می‌توانند در ایجاد اسیدوز نقش داشته باشند.

این نتایج، به عنوان اولین گزارش از تفاوت بیان lncRNAهای شناخته شده در نمونه‌های سالم و اسیدوزی، ضمن این که حاشیه‌نویسی ژنوم گاو را بهبود می‌بخشد، می‌تواند بینش جدیدی در مورد عملکرد lncRNAها را در توسعه اسیدوز ارائه نماید. یافته‌های این پژوهش، نشان می‌دهد که دارای lncRNAهایی که دارای تفاوت بیان معنی‌دار در دو گروه سالم و اسیدوزی هستند،

## تولیدات دامی

4. Catanzaro DF (2018) Molecular biology of renin and regulation of its gene, in Textbook of Nephro-Endocrinology. Elsevier. p. 389-400.
5. Chapman NA, Dupré DJ and Rainey JK (2014) The apelin receptor: physiology, pathology, cell signalling, and ligand modulation of a peptide-activated class A GPCR. *Biochemistry and cell biology* 92 (6): 431-440.
6. Cocco L, Follo MY, Manzoli L and Suh PG (2015) Phosphoinositide-specific phospholipase C in health and disease. *Journal of lipid research* 56 (10): 1853-1860.
7. Galsgaard KD, Pedersen J, Knop FK, Holst JJ and Albrechtsen NJW (2019) Glucagon Receptor Signaling and Lipid Metabolism. *Frontiers in physiology* 10:413.
8. Giepmans BN (2006) Role of connexin43-interacting proteins at gap junctions, in *Cardiovascular Gap Junctions*. Karger Publishers. p. 41-56.
9. Hangauer MJ, Vaughn IW and McManus MT (2013) Pervasive transcription of the human genome produces thousands of previously unidentified long intergenic noncoding RNAs. *PLoS genetics* 9 (6): e1003569 .
10. Ibeagha-Awemu EM and Zhao X (2015) Epigenetic marks: regulators of livestock phenotypes and conceivable sources of missing variation in livestock improvement programs. *Frontiers in genetics* 6 302.
11. Kawakami T and Xiao W (2013) Phospholipase C-β in immune cells. *Advances in biological regulation* 53 (3): 249-257.
12. Kay AM, Simpson CL and Stewart JA (2016) The role of AGE/RAGE signaling in diabetes-mediated vascular calcification. *Journal of diabetes research* 2016: 1-8.
13. Kong L, Zhang Y, Ye ZQ, Lio XQ, Zhao SQ, Wei L and Gao G (2007) CPC: assess the protein-coding potential of transcripts using sequence features and support vector machine. *Nucleic acids research* 35 (suppl\_2): W345-W349.
14. Kudla G, Lipinski L, Caffin F, Helwak A and Zlylich M (2006) High guanine and cytosine content increases mRNA levels in mammalian cells. *PLoS biology* 4 (6): e180.
15. Leblanc S (2010) Monitoring metabolic health of dairy cattle in the transition period. *Journal of reproduction and Development*. 56(S): S29-S35.
16. Li A, Zhang J, and Zhou Z (2014) PLEK: a tool for predicting long non-coding RNAs and messenger RNAs based on an improved k-mer scheme. *BMC bioinformatics* 15 (1): 311.
17. Li T, Wang S, Wu R, Zhou X, Zhu D and Zhang Y (2012) Identification of long non-protein coding RNAs in chicken skeletal muscle using next generation sequencing. *Genomics* 99 (5): 292-298.
18. Mackey E (2013) Effects of ruminal acidosis on rumen papillae transcriptome. University of Delaware, Newark, Delaware, thesis.
19. Mohanty I, Parija SC, Suklabaidya S and Rattan S (2018) Acidosis potentiates endothelium-dependent vasorelaxation and gap junction communication in the superior mesenteric artery. *European journal of pharmacology* 827: 22-31.
20. Quinn JJ and Chang HY (2016) Unique features of long non-coding RNA biogenesis and function. *Nature Reviews Genetics* 17 (1): 47.
21. Ransohoff JD, Wei Y and Khavari PA (2018) The functions and unique features of long intergenic non-coding RNA. *Nature reviews Molecular cell biology* 19 (3): 143.
22. Rao YS, Chai XW, Wang ZF, Nie QH and Zhang XQ (2013) Impact of GC content on gene expression pattern in chicken. *Genetics Selection Evolution* 45 (1): 9.
23. Sun L, Luo H, Bu D, Zhao C, Liu Y, Chen R and Zhao Y (2013) Utilizing sequence intrinsic composition to classify protein-coding and long non-coding transcripts. *Nucleic acids research* 41 (17): e166.
24. Sun YY, Cheng M, Xu M, Song LW, Gao M and Hu HL (2018) The effects of subacute ruminal acidosis on rumen epithelium barrier function in dairy goats. *Small ruminant research* 169: 1-7.
25. Trapnell C, Hendrickson DG, Sauvageau M, Goff L, Rinn JL and Pachter L (2013) Differential analysis of gene regulation at transcript resolution with RNA-seq. *Nature biotechnology* 31: 46-53.